

بررسی تأثیر پارامترهای جوشکاری لیزر پالسی Nd:YAG بر روی ساختار انجمادی و ابعاد حوضچه مذاب در ورق نازک آلیاژ مس-برلیوم

سید تیرداد نیک نژاد* و سید علی اصغر اکبری موسوی

دانشگاه تهران، پردیس دانشکده فنی، گروه مواد

تاریخ ثبت اولیه: ۱۳۸۷/۴/۵، تاریخ دریافت نسخه اصلاح شده: ۱۳۸۷/۵/۵، تاریخ پذیرش قطعی: ۱۳۸۷/۵/۲۴

چکیده در این تحقیق، ساختار جوش لیزر پالسی Nd:YAG آلیاژ مس برلیوم 1720°C ، تحت تأثیر متغیرهای مختلف شامل انرژی پالس های لیزر، قطر کانونی اشعه، پهنهای پالس و فرکانس در عمق و پهنهای جوش بررسی شده است. نتایج به دست آمده نشان می دهد که به دلیل تفاوت در تحت تبرید ترکیبی در مناطق مختلف فلز مذاب، ساختار انجمادی شامل مورفولوژی های متعددی است. ساختار سنتزی عمدتاً در منطقه مجاور مرز ذوب تشکیل می شود؛ در حالی که ساختار دندریتی و هم محور، ساختار غالب در نزدیکی خط مرکزی جوش به شمار می آید. تصویر میکروسکوپ الکترونی نشان می دهد که ذوب جزئی مرزدانه در منطقه تحت تأثیر حرارت روی داده است. تصاویر متالوگرافی نشان می دهد که افزایش بیش از اندازه و لاتاز پالس به تبخیر لایه سطحی آلیاژ و تغیر گرده جوش منجر می شود. برای ایجاد جوش با حداقل عمق نفوذ و حداقل پهنا، کاهش قطر کانونی اشعه به جای افزایش انرژی پالس توصیه می شود. همچنین پهنهای پالس، اثر دوگانه ای بر ابعاد حوضچه مذاب ایجاد شده دارد.

کلمات کلیدی جوشکاری لیزر پالسی، آلیاژ مس-برلیوم، تحت تبرید ترکیبی، ساختار انجمادی.

Effects of Nd:YAG Pulsed Laser Beam Parameters on Microstructure and Dimensions of Weld Pool for a Copper-Beryllium Plate

S. T. Niknejad* and S. A. A. Akbari Mousavi

Department of Material Science and Engineering, Campus of Engineering Faculties, Tehran University

Abstract The Nd:YAG pulsed laser welded structure of Copper-Beryllium alloy were studied by varying laser parameters such as pulse energy, spot diameter, duration and frequency. The metallographic results showed that the pulse energy should be kept as low as possible in order to obtain the weld pool with the highest values of penetration and the least width. Low pulse energy decreases the time for segregation of impurities. The impurities are the main cause of hot cracking. In addition, the laser spot diameter should be kept as low as possible. Moreover, the microscopic investigations demonstrate that the dendrite structure prevails in weld pool near the weld centerline and the cellular structure forms in weld pool near the base meal.

Keywords Laser Beam Welding, Copper-Beryllium Alloy, Pulsed Laser Parameters.

*عهده دار مکاتبات

نشانی: دانشگاه تهران، پردیس دانشکده فنی، گروه مواد.

تلفن: ۰۲۱_۶۱۱۱۴۰۹۶، دورنگار: ۰۲۱_۸۸۰۰۶۰۷۶، پیام نگار: niknejadtir@ut.ac.ir

۱_ مقدمه

Nd:YAG را بر عمق نفوذ مواد مختلف با هدایت حرارتی متفاوت آزمایش کردند [۴،۳]. آنها دریافتند که حداقل استحکام موضعی اتصال زمانی به دست می‌آید که حوضچه مذاب با حداقل عمق نفوذ و با حداقل پهنا ایجاد شود. این شرایط زمانی حاصل می‌شود که دانسیته توان پالس‌های لیزر در حداقل میزان ممکن باشد. این پارامتر از حاصل تقسیم توان متوسط لیزر بر سطح مقطع اشعه درهنگام تمرکز به دست می‌آید [۶،۵]. جوشکاری لیزر فلزاتی نظیر مس و طلا به دلیل هدایت حرارتی بالا مشکل است. برای اتصال این فلزات قطر اشعه درحالت تمرکز باید بسیار کوچک باشد. در غیر این صورت پهنانی حوضچه مذاب به شدت افزایش می‌یابد. افزایش پهنانی پالس و فرکانس لیزر از دیگر عوامل افزایش دهنده پهنانی حوضچه مذاب در آلیاژهای با هدایت حرارتی بالاست. تحقیق حاضر به تعیین پارامترهای بهینه برای جوشکاری لیزر پالسی در آلیاژ مس-برلیوم پرداخته است. لازم به ذکر است که پارامترهای بهینه براساس ظاهر حوضچه مذاب و نسبت عمق نفوذ به پهنانی جوش مناسب تعیین شده است.

۲- روش آزمایش

جوشکاری لیزر پالسی Nd:YAG با طول موج ۱/۰۶ میکرون بر روی ورق‌های مس-برلیوم 17200°C با ضخامت ۰/۲۵ میلیمتر انجام شد. در جدول ۱ آنالیز شیمیایی این آلیاژ

جوشکاری با اشعه لیزر یکی از روش‌های نوین اتصال مواد است. ایجاد حوضچه مذاب با حداقل نفوذ و حداقل پهنا ازجمله مهم‌ترین ویژگی‌های این روش است. به‌طورکلی دو حالت برای جوشکاری لیزر وجود دارد [۱]:

۱. جوشکاری هدایتی (Conductive Welding).

۲. جوشکاری نفوذی یا سوراخ کلیدی (Keyholewelding).

تفاوت اساسی در دو روش فوق آن است که در حالت اول، سطح مقطع مورد اصابت اشعه شکافته نمی‌شود، در حالی که در حالت دوم سطح فلز باز می‌شود و باریکه لیزر به درون ناحیه مذاب نفوذ می‌کند. سوراخ کلید عمدها در لیزرهای حالت گازی با دانسیته توان بالاتر از 10 Kw/mm^2 اتفاق می‌افتد. لیزرهای کم توان عمدها در لیزرهای حالت جامدند (Nd:YAG) که مکانیزم هدایتی عامل ذوب است. لیزرهای حالت جامد معمولاً در حالت پالسی عمل می‌کنند.

اولین مرحله تحقیق در جوشکاری مواد با لیزر پالسی، تعیین پارامترهای بهینه لیزر است. مهم‌ترین این پارامترها عبارت اند از: ولتاژ لیزر، پهنانی پالس، قطر کانونی اشعه و فرکانس پالس‌ها [۲]. تغییر هر یک از این پارامترها تأثیر زیادی در شکل حوضچه مذاب ایجادشده و ابعاد آن خواهد داشت. Watanabe و همکارانش تأثیر پارامترهای جوشکاری لیزر

جدول ۱. ترکیب شیمیایی C17200.

عنصر	برلیوم	نیکل	کبالت	مس
درصد وزنی	۱/۹	۰/۲	۰/۴	باقیمانده

است. به دلیل توان متوسط اعمالی، نسبت عمق به پهنای جوش پایینی به دست آمد. همچنین دستگاه، مجهز به استریو میکروسکوپ ۱۰ برابر کننده جهت مشاهده دقیق محل جوش، سامانه تغییر قطر لکه لیزر در نقطه کانونی (۰/۲mm) جهت جوش انواع مواد و سیستم کنترل و هدایت گاز آرگون محافظت جوش است. در جدول ۲ پارامترهای اعمالی جوش لیزر

ارائه شده است. آنالیز عنصری با آنالیز EDS میکروسکوپ الکترونی انجام شد. به دلیل عدم توانایی آنالیز برلیوم با سیستم EDS، آزمایش شیمی تر برای تعیین درصد وزنی این عنصر انجام شد.

برای جوشکاری از دستگاه میکرولیزر مدل Cosmolaser-SW-1 با توان متوسط ۸۰ وات استفاده شده

جدول ۲. پارامترهای جوش لیزر انجام شده.

نمونه ^{۱۲}	ولتاژ پالس (V)	عرض پالس (ms)	فرکانس پالس (Hz)	قطر کانونی اشعه (mm)
۱	۴۱۰	۴	۱۰	۰/۱۵
۲	۴۳۰	۴	۱۰	۰/۱۵
۳	۴۵۰	۴	۱۰	۰/۱۵
۴	۵۰۰	۴	۱۰	۰/۱۵
۵	۵۲۰	۴	۱۰	۰/۱۵
۶	۴۲۰	۴	۱۰	۰/۱
۷	۴۲۰	۴	۱۰	۰/۱۵
۸	۴۲۰	۴	۱۰	۰/۲
۹	۴۲۰	۴	۱۰	۰/۳
۱۰	۴۲۰	۴	۱۰	۰/۴
۱۱	۴۲۰	۴	۱۰	۰/۵
۱۲	۴۲۰	۲	۱۰	۰/۱۵
۱۳	۴۲۰	۳/۵	۱۰	۰/۱۵
۱۴	۴۲۰	۵	۱۰	۰/۱۵
۱۵	۴۲۰	۶	۱۰	۰/۱۵
۱۶	۴۲۰	۴	۸	۰/۱۵
۱۷	۴۲۰	۴	۱۲	۰/۱۵

۱. آزمایش‌ها بر روی ورق آنیل انحلالی شده انجام شده است.

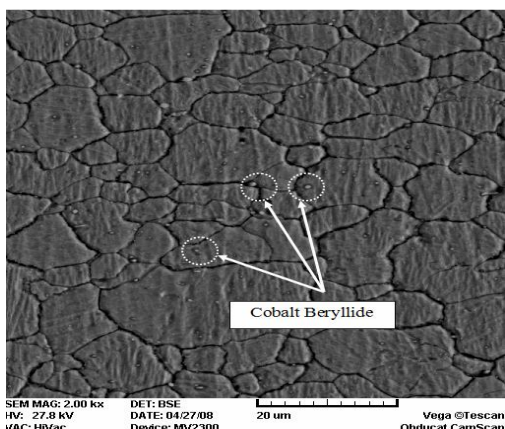
۱-۳- میکروساختار فلز پایه

شکل ۱، میکروساختار آلیاژ مس-برلیوم در شرایط آنیل انحالی شده را نشان می‌دهد. در شکل ۱ دانه‌های هم محور فاز α که حاوی برلیوم محلول در جامدند نمایان است. ذرات ریز سفیدرنگ پراکنده در داخل دانه‌ها، فاز بین فلزی ۶ با ترکیب شیمیابی (Cobalt Beryllide) Co-Berryllide (Cobalt Beryllide) است که برلید کبالت (Co-Be) نامیده می‌شود. با توجه به دیاگرام تعادلی Co-Be (شکل ۲-الف)، نقطه ذوب تقریبی فاز ۶ برابر 1090°C و بالاتر از نقطه ذوب تعادلی آلیاژ (990°C) است (شکل ۲-ب).

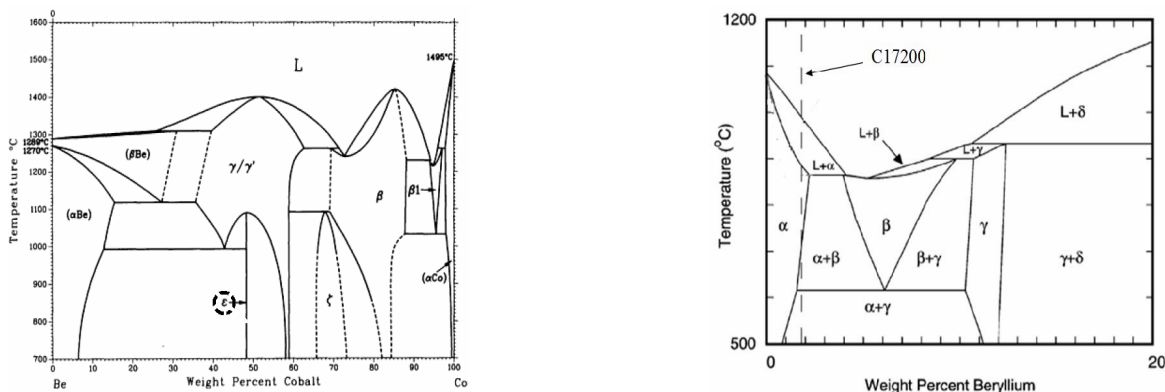
مشاهده می‌شود.

پس از جوشکاری، نمونه‌ها از مقطع عرضی برش خوردن و پس از سنباده‌زنی و پولیش با محلول رقیق هیدروکسید آمونیوم حکاکی شدند. از میکروسکوپ نوری Olympus-LH50A برای بررسی شکل ظاهری گرده جوش و از میکروسکوپ الکترونی روبشی CAMSCAN-MV2300 برای آشکاری سازی ساختار جوش و ناحیه تحت تأثیر حرارت استفاده شد.

۳- نتیجه‌گیری



شکل ۱. ساختار متالوگرافی آلیاژ آنیل شده در دمای 790°C .

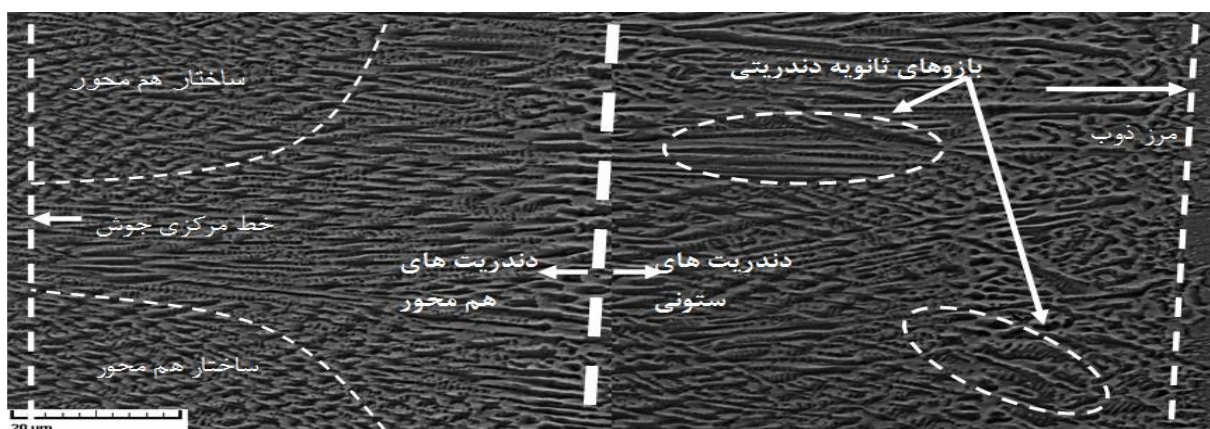


شکل ۲. (الف) دیاگرام تعادلی Co-Be و (ب) دیاگرام تعادلی Cu-Be و ترکیب شیمیابی آلیاژ C17200 [۷].

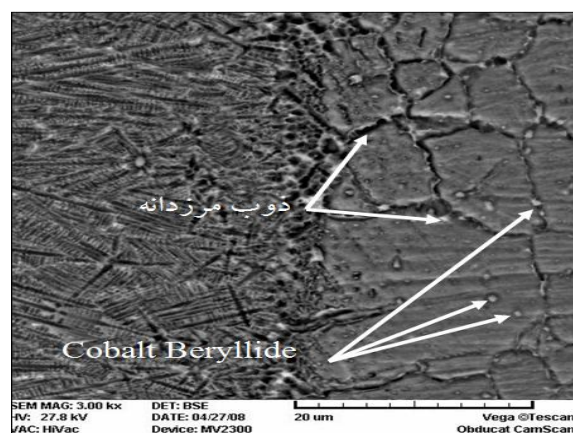
حرارتی است. استفاده از لیزر کم توان، نرخ سردشدن را بالا می‌برد و درنتیجه سرعت انجمادی افزوده می‌شود. در منطقه نزدیک خط مرکز جوش به دلیل شیب حرارتی نسبتاً پایین انتظار ایجاد ساختار دندانی و یا حتی هم محور می‌رود. درحالیکه در مجاورت فلز پایه شیب حرارتی افزایش یافته و درنتیجه نسبت کمی شیب حرارتی به سرعت انجماد (G:R) افزایش می‌یابد که کاهش تحت تبرید ترکیبی و احتمال غالب شدن ساختار سلولی نسبت به ساختار دندانی را به دنبال دارد. منطقه تحت تاثیر حرارت در شکل ۴ کاملاً مشخص است که به

۲-۳- میکروساختار ناحیه ذوب و منطقه تحت تأثیر حرارت

شکل ۳ تصویر میکروسکوپ نوری ساختار جوش و منطقه تحت تأثیر حرارت را نشان می‌دهد. همان طور که مشاهده می‌شود ساختار جوش بسته به فاصله از مرز ذوب مورفولوژی‌های متفاوتی دارد. در مجاورت خط مرکز جوش ساختار ستونی تشکیل شده است که بازوهای دندانی ثانویه در عرض ستون‌ها مشخص شده‌اند. درحالی که در نواحی نزدیک خط مرکزی جوش مورفولوژی غالب، ساختار دندانی و هم محور غالب است. علت تفاوت ساختار، تفاوت در شیب



شکل ۳. ساختار فلز جوش لیزر در آلیاژ مس بریلیوم برای نمونه ۲.



شکل ۴. ساختار منطقه تحت تاثیر حرارت در آلیاژ مس بریلیوم برای نمونه ۲.

محلول جامد به سمت مرzedane‌ها حرکت کرده و در آنجا رسوبات بین فلزی مس برلیوم به صورت لایه‌ای تشکیل شده‌اند. با توجه به قطورشدن بیش از حد مرzedane‌ها و تفاوت آشکار ساختار در این ناحیه و ساختار رسوب سخت شده، احتمال ذوب مرzedane‌ها در ناحیه تحت تأثیر حرارت بالاتر است.

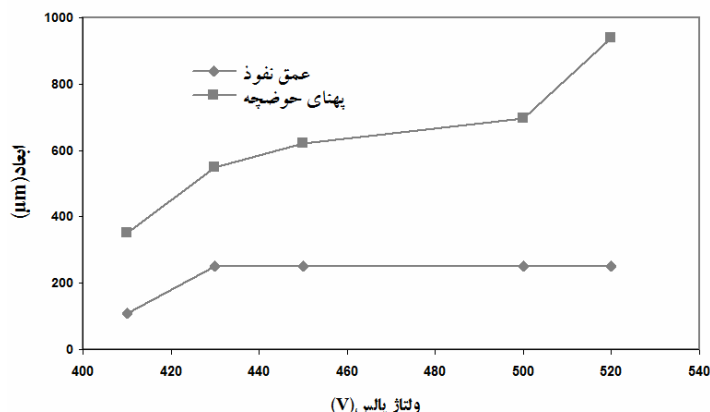
۳-۳-۱_اثر ولتاژ

شکل ۵ تغییرات ابعادی حوضچه مذاب را با افزایش ولتاژ پالس‌های لیزر نشان می‌دهد. همانطور در شکل ۶ نیز

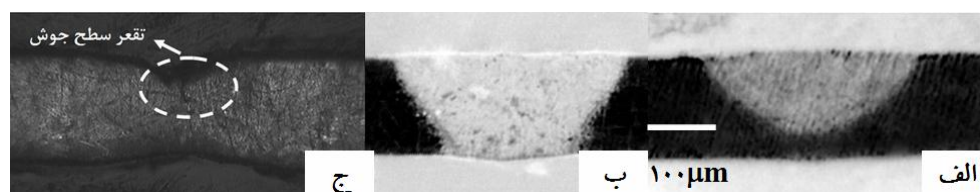
صورت ساختار دانه‌درشت و خشن دیده می‌شود.

در بررسی تصاویر الکترونی مشخص شد که ذرات برلید کمال به دلیل نقطه ذوب بالاتر از نقطه ذوب تعادلی آلیاژ، پایداری خود را دربرابر اعمال سیکل حرارتی شدید حفظ می‌کنند و همچنان در ساختار وجود دارند (شکل ۴). همچنین مشاهده می‌شود که مرzedane‌های ناحیه تحت تأثیر حرارت نسبت به ساختار فلز پایه درشت شده‌اند. وجود دو عامل در ایجاد این پدیده محتمل است؛ اول اینکه سیکل حرارتی بالا در این منطقه و تجمع عنصر آلیاژی متفاوت به خصوص برلیوم و کمال در مرzedane‌ها باعث نزدیک شدن به ترکیب یوتکنیکی و ذوب مرzedane‌ای شده است [۸].

احتمال دیگر این است که عنصر برلیوم به صورت



شکل ۵. تغییرات ابعادی حوضچه مذاب نسبت به تغییرات ولتاژ پالس.



شکل ۶. مقطع عرضی حوضچه مذاب برای نمونه‌های ۱ (الف)، ۲ (ب) و ۵ (ج).

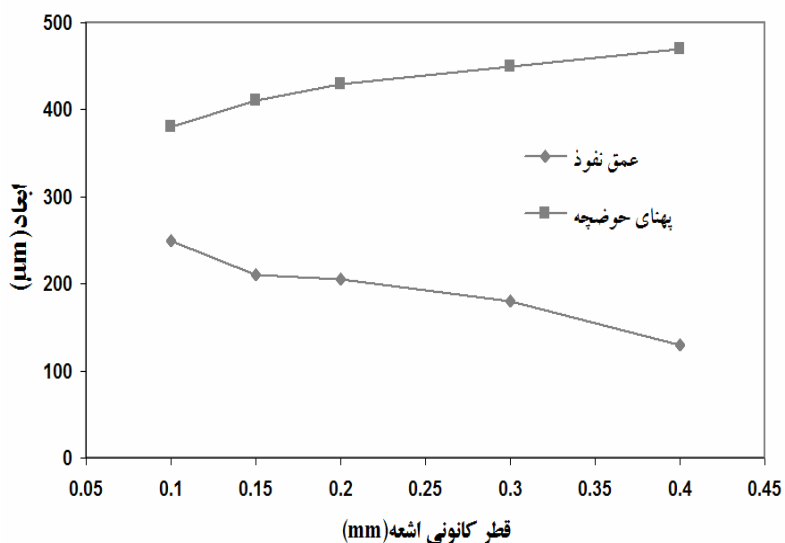
مذاب بالا رفته و به دلیل کمبود مذاب در مرحله انجام شکل حوضچه ذوب مقعر می شود (شکل ۶ ج).

۲۳.۳ اثر قطر کانونی اشعه

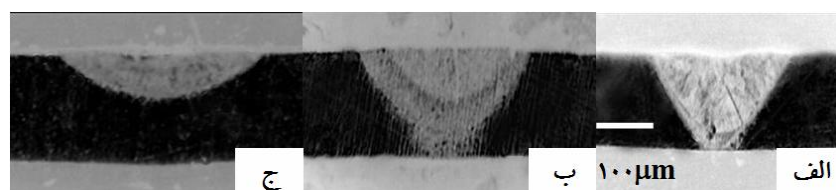
همان طور که در شکل های ۷ و ۸ دیده می شود کاهش قطر اشعه در ولتاژ ثابت (۴۲۰ ولت) به میزان مطلوبی عمق نفوذ را افزایش می دهد، بدون آنکه به افزایش پهنای حوضچه مذاب منجر شود. این پدیده به دلیل افزایش دانسیته توان اشعه بر واحد سطح ایجاد می شود. دانسیته توان اشعه (P_D) از این رابطه به دست می آید [۵]:

ملاحظه می شود که با افزایش اندازه ولتاژ، ابعاد حوضچه مذاب با نرخ بالای افزایش می یابد. به طوری که با افزایش ۴ درصدی ولتاژ، عمق نفوذ دو برابر می شود. افزایش ولتاژ به افزایش انرژی ورودی پالس های لیزر منجر می شود و لذا توانایی پالس های لیزر برای ذوب کردن فلز به شدت افزایش می یابد. با توجه به اینکه افزایش ابعاد حوضچه جوش به افت خواص مکانیکی فلز منجر می شود؛ لذا استفاده از ولتاژ های بالاتر از ۴۳۰ ولت برای جوشکاری ورق با ضخامت ۰/۲۵ میلیمتر توصیه نمی شود.

در ولتاژ های بالاتر از ۴۵۰ ولت احتمال بخارشدن جزئی



شکل ۷. تغییرات ابعادی حوضچه مذاب نسبت به تغییرات قطر کانونی اشعه.



شکل ۸. مقطع عرضی حوضچه مذاب برای نمونه های ۱۰(الف)، ۸(ب) و ۶(ج).

$$P_D = \frac{4P_E}{\pi d^2} \quad \text{رابطه (۳)} \quad P_D = \frac{4P}{\pi d^2} \quad \text{رابطه (۱)}$$

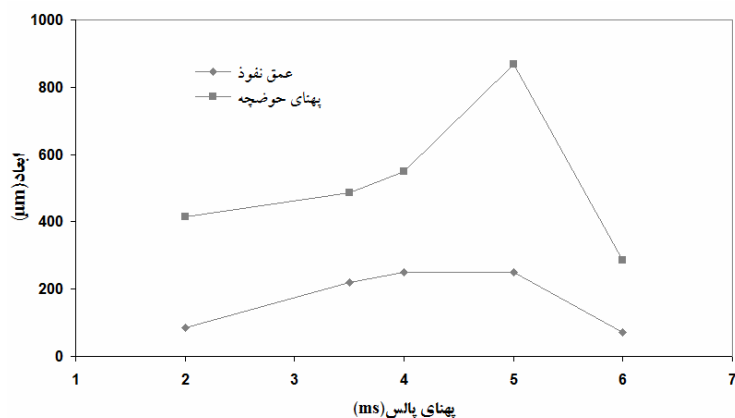
درواقع می توان گفت که عامل افزایش دهنده عمق نفوذ در جوشکاری لیزر پالسی، دانسیته توان اشعه است؛ نه انرژی آن. کاهش بیش از حد قطر اشعه نیازمند درز اتصال بسیار کوچک می باشد و لذا آماده سازی موضع جوش، اهمیت بیشتری می یابد.

۳-۳-۳_۳ اثر پهنهای پالس
مطابق نمودار شکل ۹، تغییرات پهنهای پالس لیزر (در

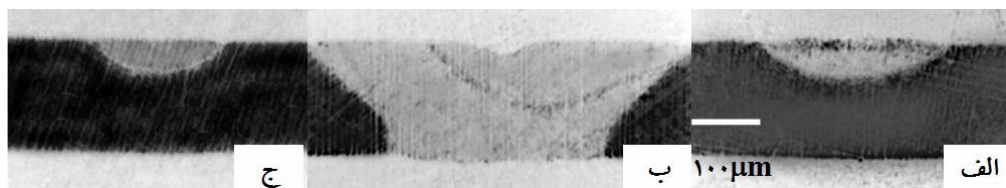
P توان متوسط اشعه است و از رابطه ۲ قابل محاسبه است [۵]:

$$P = \frac{P_E}{t} \quad \text{رابطه (۲)}$$

T معرف پهنهای پالس و P_E انرژی هر پالس لیزر است که تنها به ولتاژ اعمالی وابسته است. درنتیجه دانسیته توان اشعه از این رابطه به دست می آید [۵]:



شکل ۹. تغییرات ابعادی حوضچه مذاب نسبت به تغییرات پهنهای پالس.



شکل ۱۰. مقطع عرضی حوضچه مذاب برای نمونه های ۱۲ (الف)، ۱۴ (ب) و ۱۵ (ج).

افزایش می‌یابد.

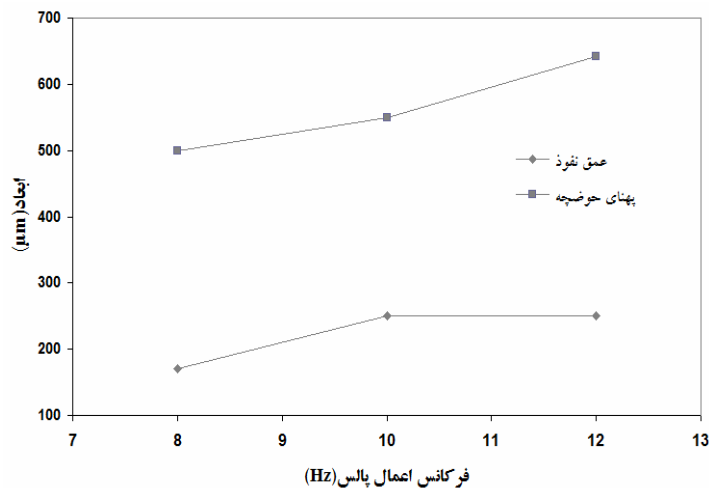
۴-۳-۴. اثر فرکانس پالس

با افزایش فرکانس پالس‌های لیزر میزان همپوشانی پالس‌ها بیشتر می‌شود. افزایش همپوشانی موجب پیشگرم پالس قبلی برای پالس بعدی می‌شود. همچنین توان متوسط لیزر در پهنهای پالس ثابت وابستگی مستقیم به فرکانس دارد [۲]:

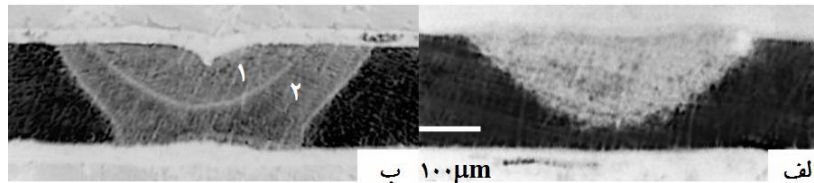
$$P_{av} = P_E \times f(\text{Hz}) \quad (\text{رابطه } ۴)$$

مجموع دو عامل فوق (افزایش اثر پیشگرم پالس قبلی و افزایش توان متوسط پالس) موجب افزایش ابعاد حوضچه

ولتاژ ثابت) اثر دوگانه‌ای بر ابعاد حوضچه مذاب دارد. در محدوده پهنهای پالس کم، با افزایش پهنا ابعاد حوضچه مذاب با نرخ نسبتاً بالایی افزایش می‌یابد (شکل ۱۰). با افزایش پهنهای پالس به ۵ میلی‌ثانیه، حوضچه مذاب با نرخ بالایی کوچک می‌شود. مطابق رابطه ۲ با افزایش پهنهای پالس در انرژی ثابت پالس، توان متوسط لیزر کاهش می‌یابد. بنابراین می‌توان افت ابعادی حوضچه درنتیجه افزایش پهنهای پالس را توجیه کرد. هدایت حرارتی بالای آلیاژ مس نیز در عدم ذوب دخیل است. در محدوده پهنهای پالس کم، زمان اعمال پالس برای ایجاد ذوب عامل مهم‌تری نسبت به توان متوسط پالس محسوب می‌شود؛ لذا با افزایش زمان پالس در این محدوده میزان ذوب فلز



شکل ۱۱. تغییرات ابعادی حوضچه مذاب نسبت به فرکانس اعمالی پالس‌ها.



شکل ۱۲. مقطع عرضی حوضچه مذاب برای نمونه‌های ۱۶ (الف)، ۱۷ (ب).

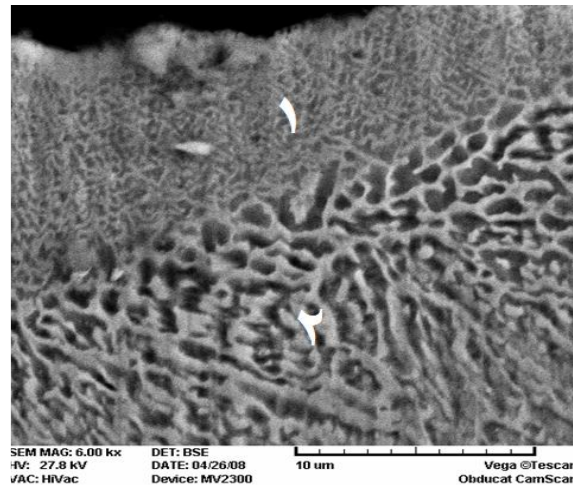
تعیین شد. ساختار انجامدی جوش لیزر در منطقه نزدیک به خط وسط جوش دندریتی و در مجاورت فلز پایه به صورت سلولی است. عامل تعیین کننده عمق نفوذ در جوشکاری لیزر پالسی، دانسیته توان لیزر است. برای افزایش دانسیته توان، کاهش قطر کانونی اشعه مناسب تر از افزایش انرژی (ولتاژ) پالس هاست؛ زیرا افزایش انرژی ورودی به شدت حجم مذاب ایجادشده را افزایش می دهد. افزایش بیش از حد پهنهای پالس در ولتاژ ثابت به کاهش قابل توجه توان متوسط و درنتیجه ذوب ناقص منجر می شود.

مراجع

- Roy, G. G., Elmer, J. W. and Debroy, T., "Mathematical Modeling of Heat Transfer, Fluid Flow and Solidification during Linear Welding with a Pulsed Laser Beam", *J. Appl. Phys.*, Vol. 100 (2001) 805-903.
- Tzeng, Y. F., "Effect of Operating Parameters on Surface Quality for the Pulsed Laser Welding of Zinc Coated Steel", *J. Mat Pro Tec.*, Vol. 100 (2003) 163-170.
- Baba, N. and Watanabe, I., "Penetration depth into dental casting alloys by Nd:YAG laser", Wiley Period. (2004) 64-68.
- Perret, O., Bizouard, M., Naudy, P. G. and Nore, D., "Characterization of the Keyhole Formed during Pulsed Nd-YAG Laser Interaction with a Ti-6Al-4V Metallic Target", *J., Appl. Phys.*, (2001) 27-30.
- Tzeng, Y. F., "Parametric Analysis of the Pulsed Laser Nd:YAG Laser Seam-Welding Process", *Materials Processing Technology*, (1998) 40-47.
- Malek Ghaini, F., Hamed, M. J., "Weld Metal Micro Structural Characteristics in Pulsed Nd:YAG Laser Welding, *Script Materials*, (2007) 955-958.
- Harkness, J. C. and A, Guha., "Copper Beryllium and Nickel Beryllium alloys-Metallugraphy and microstructures-ASM handbook", *ASM Internationals*, (2004), 752-761.
- Zalkind, S. and Moreno, D., "Fracture Characterization of Welded Copper-Beryllium Alloy", *J. Material Science Letters*, (1999) 849-85.

مذاب با افزایش فرکانس می شود (شکل های ۱۱ و ۱۲). روی هم افتادگی پالس ها در شکل ۱۲ ب مشاهده می شود. نیم دایره خارجی اثر ناشی از پالس حاضر و نیم دایره داخلی ناشی از اثر پالس قبلی است. ساختار انجامدی ایجادشده در شکل ۱۳ نمایان است. مشاهده می شود که ساختار انجامدی در نیم دایره داخلی به مراتب ریزتر از ساختار انجامدی در خارج آن است. علت این موضوع آن است که ساختار دندریتی تشکیل شده از انجامد پالس قبلی توسط پالس بعدی شکسته می شود و ساختار ریزتری در وسط حوضچه به وجود می آورد.

تأثیر پارامترهای جوشکاری با لیزر پالسی Nd:YAG بر روی صفحات نازک مس-بریلیوم بررسی شد که پارامترهای مربوط به نمونه ۱۰ از لحاظ شکل مناسب حوضچه جوش و حداقل عیوب موجود، به عنوان پارامترهای بهینه جوشکاری



شکل ۱۳. ساختار انجامدی در نمونه ۱۷ (مناطق ۱ و ۲ در شکل ۱۲) مشخص شده‌اند.